

## ИСТОЧНИКИ И ПОТОКИ ТЕПЛА В МАНТИИ ЗЕМЛИ

© 2002 г. С. В. Старченко, А. А. Степанов

Представлено академиком В.Н. Страховым 03.12.2001 г.

Поступило 10.01. 2002 г.

Целью работы является объективная оценка сферически-симметричных средних тепловых потоков в мантии Земли. При этом считаем, что нам известны современный тепловой поток с поверхности Земли (44 ТВт [7]), температура у поверхности Земли (0°C [2]) и достаточно уверенно оцениваемые значения температур фазовых переходов у внутренних границ рассматриваемых однородных слоев [1], на которые может быть разбита мантия исходя из общепринятой сейсмической модели Земли PREM [4]. Эта модель позволяет уверенно оценить и распределение плотности в мантии Земли. Самостоятельно нам предстоит оценить неизвестное (кроме осредненных значений на поверхности Земли [10]) количество и распределение радиоактивных источников тепла, которые играют одну из основных ролей в процессе теплопереноса в глубинных недрах мантии. Кроме того, нам самим необходимо определить эффективные коэффициенты теплопроводности. Они должны существенно отличаться от известных молекулярных (кондуктивных) коэффициентов [1, 2], поскольку вклад конвективного и лучистого теплопереносов является определяющим.

Для решения поставленной задачи мы разлагаем частично заданную функцию температуры  $T(r, \tau) = T_0(r) + T_1(r) \cdot \tau$  в ряд Тейлора по времени до линейного члена, считая неизвестными плотность радиоактивных источников тепла  $q_v(r, \tau) = q(r)(q_0 - q_1\tau)$  и эффективную теплопроводность  $\kappa$ . Исходя из содержания радиоактивных изотопов в верхних слоях коры Земли  $q_0 = 4.722 \cdot 10^{-6}$  Вт/м<sup>3</sup>,  $q_1 = 2.68 \cdot 10^{-23}$  Вт/м<sup>3</sup>·с [10]. А общее решение соответствующих уравнений теплопроводности можно записать в каждом слое в виде

$$\begin{cases} T_1(r) = \int_{R_0}^r \left( \frac{1}{\eta^2 \kappa} \int_{R_0}^{\eta} q_1 q(\xi) \xi^2 d\xi + \frac{R_0^2}{\eta^2} \psi_1 \right) d\eta + \varphi_1; \\ T_0(r) = \int_{R_0}^r \left( \frac{1}{\eta^2 \kappa} \int_{R_0}^{\eta} (c_p \rho T_1(\xi) - q_0 q(\xi)) \xi^2 d\xi + \right. \\ \left. + \frac{R_0^2}{\eta^2} \psi_0 \right) d\eta + \varphi_0. \end{cases} \quad (1)$$

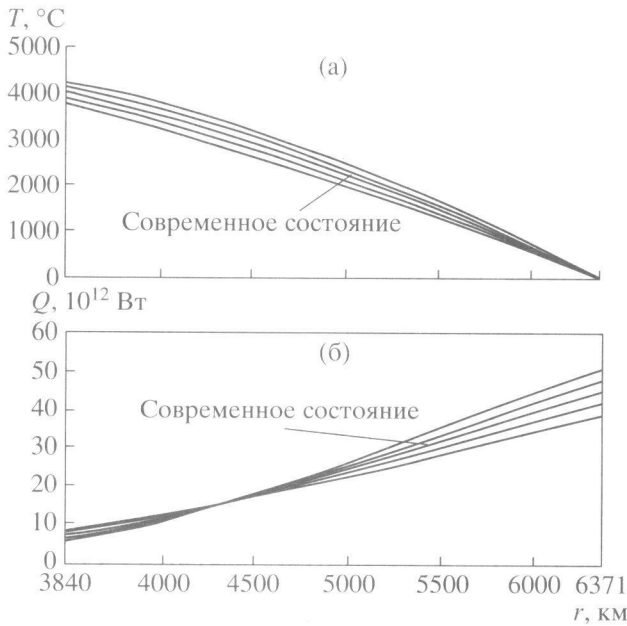
Здесь на внешней (индекс – 0) границе слоя  $r = R_0$ ,

$T(R_0, \tau) = \varphi(\tau)$  и  $\left( \frac{\partial T(r, \tau)}{\partial r} \right)_{r=R_0} = \psi(\tau)$ . Разделяя всю

мантию на такие однородные слои, задаем граничные условия для нулевого члена разложения  $T_0$  на границах слоев. Граничные же условия для первого члена  $T_1$  оценим из решения методом Фурье [3] задачи об остывании сферы

$$\begin{aligned} T = \frac{2}{r} \sum_{n=1}^{\infty} \frac{\sin\left(\pi \cdot n \cdot \frac{r}{R_0}\right) \cdot e^{-\left(\pi \cdot n\right) \frac{2\alpha\tau}{R_0^2}}}{R_0} \times \\ \times \int_0^{R_0} \left( \eta \cdot f(\eta) \sin\left(\pi \cdot n \cdot \frac{\eta}{R_0}\right) \right) d\eta + \varphi(\tau) + \\ + \frac{2}{r} \sum_{n=1}^{\infty} \frac{\sin\left(\pi \cdot n \cdot \frac{r}{R_0}\right)}{R_0} \int_0^{\tau} \int_0^{R_0} \left( \frac{\eta \cdot q_v(\eta, \xi)}{c_p \rho} \times \right. \\ \left. \times \sin\left(\pi \cdot n \cdot \frac{\eta}{R_0}\right) \right) d\eta \cdot e^{-\left(\pi \cdot n\right) \frac{2\alpha(\tau-\xi)}{R_0^2}} d\xi, \quad (2) \end{aligned}$$

так как временная зависимость в данных сходных задачах должна иметь одинаковый вид. Это общее решение уравнений теплопроводности тоже разложим в ряд Тейлора по времени и используем



**Рис. 1.** а – профиль температуры однослойной модели при равномерном распределении радиоактивных источников, объемная плотность которых  $q = 0.0051$  от наблюдаемой на поверхности Земли. Эффективный коэффициент теплопроводности  $\kappa = 52$  Вт/м · °С. б – соответствующее распределение теплового потока. Интервал между кривыми 1 млрд. лет.

далее отношение первого (линейного) члена разложения к нулевому члену:

$$\frac{T_1(R_i) - T_1(R_o)}{T_0(R_i) - T_0(R_o)} = \frac{\sum_{n=1}^{\infty} \sin\left(\pi n \frac{R_i}{R_o}\right) \int_0^{R_o} \frac{\eta q_0 q(\eta)}{c_p \rho} \sin\left(\pi n \frac{\eta}{R_o}\right) d\eta}{\sum_{n=1}^{\infty} \sin\left(\pi n \frac{R_i}{R_o}\right) \int_0^{R_o} \eta f(\eta) \sin\left(\pi n \frac{\eta}{R_o}\right) d\eta} - \frac{\frac{\kappa}{c_p \rho} \sum_{n=1}^{\infty} \left(\frac{\pi n}{R_o}\right)^2 \sin\left(\pi n \frac{R_i}{R_o}\right) \int_0^{R_o} \eta f(\eta) \sin\left(\pi n \frac{\eta}{R_o}\right) d\eta}{\sum_{n=1}^{\infty} \sin\left(\pi n \frac{R_i}{R_o}\right) \int_0^{R_o} \eta f(\eta) \sin\left(\pi n \frac{\eta}{R_o}\right) d\eta}. \quad (3)$$

Дополняя соотношение (3) его аналогом, получаем при дифференцировании (2) по радиусу, определим все недостающие граничные условия для (1).

В равенства (2) и (3) входит интеграл от начального распределения температур, которое, строго говоря, является неизвестным, однако, не внося заметной погрешности, функцию  $f(r)$  мож-

но представить линейной аппроксимацией  $f(r) = a + br$ , где  $a$  и  $b$  – коэффициенты, которые находятся исходя из значений температуры в реперных точках.

После подстановки граничных условий в решение (1) получаем для решения обратной задачи нелинейную систему из  $2n$  уравнений ( $n$  – номер слоя от поверхности):

$$\int_{R_{o_n}}^{R_{i_n}} \left( \frac{1}{\eta^2 \kappa_n} \int_{R_{o_n}}^{\eta} q_1 q_n(\xi) \xi^2 d\xi + \frac{R_{o_n}^2}{\eta^2} \psi_{1_n} \right) d\eta = T_1(R_{i_n}) - \varphi_{1_n}, \quad (4)$$

$$\int_{R_{o_n}}^{R_{i_n}} \left( \frac{1}{\eta^2 \kappa_n} \int_{R_{o_n}}^{\eta} (c_{p_n} \rho_n T_{1_n}(\xi) - q_0 q_n(\xi)) \xi^2 d\xi + \frac{R_{o_n}^2}{\eta^2} \psi_{0_n} \right) d\eta = T_0(R_{i_n}) - \varphi_{0_n},$$

где

$$T_{1_n}(\xi) = \int_{R_{o_n}}^{\xi} \left( \frac{1}{\eta^2 \kappa_n} \int_{R_{o_n}}^{\eta} q_1 q_n(\xi) \xi^2 d\xi + \frac{R_{o_n}^2}{\eta^2} \psi_{1_n} \right) d\eta + \varphi_{1_n}.$$

Система (4) для неизвестных  $q_n$  и  $\kappa_n$  нелинейная и математически допустимо несколько (не менее чем  $3n$ ) ее решений, из которых необходимо выбрать лишь те решения, которые допустимы физически в мантии Земли.

Рассматривая однородную (о д н о с л о й н у ю) модель мантии Земли, распределение радиоактивных источников в простейшем случае можно представить как постоянное усредненное по всему слою, т.е.  $q(r) = q = \text{const}$ . Подставляя данное выражение в (4), получим алгебраическую систему уравнений третьего порядка. Отобрав физически допустимое решение (в итоге остается одно) и с учетом того, что за 4 млрд. лет температура на границе ядро–мантия понизилась менее чем на 500°C [11], мы получили следующие результаты (рис. 1): тепловой поток из ядра в мантию зависит от значения температуры на границе между ними и равен 9.5 ТВт для 3000°C, 7.26 ТВт для 4000°C и 5.3 ТВт для 5000°C. Распределение радиоактивных источников получено около 0.005 от известного осредненного содержания на поверхности. Эффективный коэффициент теплопроводности варьируется в зависимости от температуры на границе ядро–мантия в пределах 75–38 Вт/м · °С.

Для линейной функции распределения внутренних источников принималось нулевое содержание радиоактивных элементов у границы ядро–мантия, а на поверхности Земли это содержание было не-

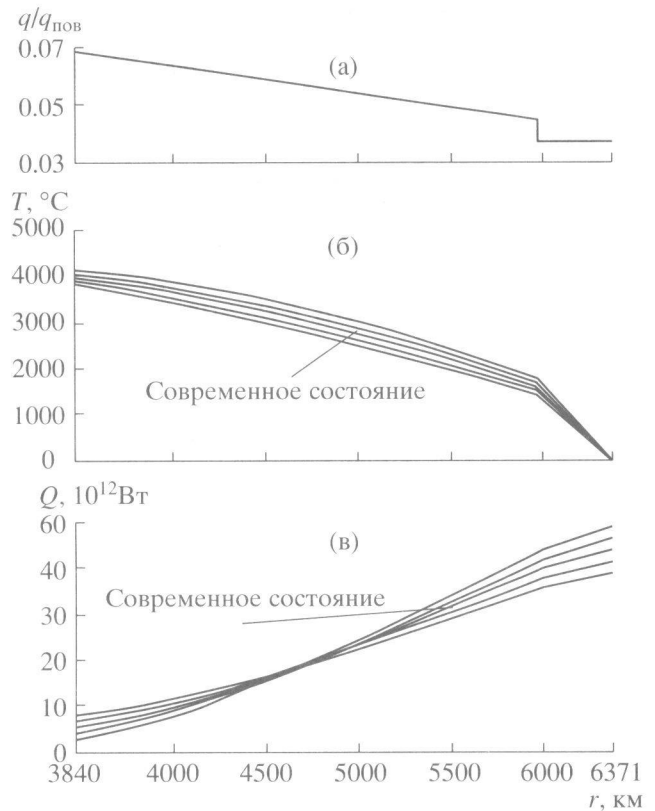
которой искомой величиной. В результате при таком распределении тепловой поток из ядра увеличился и составил ~12 ТВт при всех рассматриваемых температурах на нижней границе однородной мантии. Также в отличие от предыдущего случая наблюдается уменьшение со временем теплового потока из ядра. Охлаждение границы ядро–мантия происходит заметно быстрее и составляет 900°С за 4 млрд. лет.

При принятой нами нормировке поверхностное содержание радиоактивных источников тепла в точности равно 1 у самой поверхности. Моделируя профиль распределения радиоактивных источников линейно убывающей от 1 до 0 функцией, определим эффективную толщину  $\Delta R$  радиоактивного поверхностного слоя, считая, что в лежащей ниже области мантии тепловых источников нет. Эффективная толщина слоя, в котором сосредоточена при этом основная радиоактивность планеты, ~15 км. Тепловой поток из ядра составил, как и в предыдущем случае, ~12 ТВт для всех возможных значений температур у ядра, а скорость охлаждения оказалась еще выше – около 1100°С за 4 млрд. лет.

Поэтому в однородной модели мантии наиболее реалистичным представляется однородное распределение тепловых источников (см. рис. 1), поскольку оно дает наименьшую скорость охлаждения Земли.

Двухслойная модель мантии получается при задании реперной температуры 1600°С в зоне первого фазового перехода на глубине 400 км. Тогда система (4) содержит четыре уравнения с четырьмя неизвестными. Рассмотрев все математически доступные комбинации из профилей источников тепла в каждом из слоев, нами выделен один вариант, дающий допустимые физические решения. Для этого варианта плотность распределения внутренних источников в верхнем слое мантии принималась равной некоторой искомой постоянной величине, а в нижнем слое профиль изменялся по произвольному линейному закону, что добавляло еще два искомых параметра. С учетом двух неизвестных коэффициентов теплопроводности получалось всего пять неизвестных, и в качестве пятого уравнения использовалось условие непрерывности теплового потока.

В результате, как это иллюстрирует рис. 2а, впервые в мировой практике нами независимо получено, что плотность радиоактивных источников может нарастать к ядру. Типичное изменение температуры на границе ядро–мантия (см. рис. 2б) со временем составляет величину порядка 250°С за 4 млрд. лет. Такое значительно более медленное охлаждение Земли по сравнению с однослойной моделью свидетельствует о том, что рассматриваемая двухслойная модель намного лучше отражает процессы теплопереноса в ре-



**Рис. 2.** а – распределение относительной мощности радиоактивных тепловых источников в двухслойной модели; б – профиль температуры при 4000°С на границе ядро–мантия в современную эпоху, эффективный коэффициент теплопроводности  $\kappa_1 = 22$  Вт/м · °С в верхнем слое и  $\kappa_2 = 69$  Вт/м · °С в нижнем слое; в – распределение теплового потока. Интервал между кривыми 1 млрд. лет.

альной мантии Земли. Тепловой поток в мантии, как и в наиболее реалистичной однослойной модели, существенно зависит от температуры у границы ядро–мантия. При профиле температур, изображенном на рис. 2, тепловой поток у ядра  $Q_{СМВ} = 5.7$  ТВт в современную эпоху, а его пространственно-временная эволюция изображена на рис. 2в.

При современной температуре у границы ядро–мантия в 5000°С тепловой поток  $Q_{СМВ} = 4.0$  ТВт ( $\kappa_1 = 22$ ,  $\kappa_2 = 46$  Вт/м · °С), а при 3000°С этот поток в современную эпоху составляет  $Q_{СМВ} = 6.6$  ТВт при эффективных теплопроводностях  $\kappa_1 = 22$  и  $\kappa_2 = 123$  Вт/м · °С. Тепловой поток и температура у ядра полностью определяют всю энергетику геодинамо. До настоящей работы этот поток оценивается довольно неуверенно: использовался как весь обоснованный нами здесь интервал ~4–7 ТВт [5, 6, 9], так и необоснованно считалось, что эта величина может быть близка к ~10–20 ТВт [8].

Работа поддержана грантом INTAS 99–00348.

## СПИСОК ЛИТЕРАТУРЫ

1. *Жарков В.Н., Трубицын В.П.* Физика планетных недр. М.: Наука, 1980. 448 с.
2. *Стэйси Ф.* Физика Земли. М.: Мир, 1972. 344 с.
3. *Тихонов А.Н., Самарский А.А.* Уравнения математической физики. М.: Наука, 1966. 724 с.
4. *Dziewonski A.M., Anderson D.L.* // *Phys. Earth and Planet. Inter.* 1981. V. 25. P. 297–356.
5. *Gladzmaier G.A., Roberts P.H.* // *Physica D.* 1996. V. 97. P. 81–94.
6. *Loper D.E.* // *J. Geomagn. and Geoelectr.* 1991. V. 43. P. 79–91.
7. *Pollack H.N., Hurter S.J., Juhnson J.R.* // *Rev. Geophys.* 1993. V. 31. P. 267–280.
8. *Roberts P.H., Jones C.A., Calderwood A.R.* *Earth's Core and Lower Mantle.* L.: Gordon and Breach, 2001.
9. *Starchenko S.V., Jones C.A.* // *Icarus.* 2002. In press.
10. *Van Schmus W.R.* *Global Earth Physics: A Handbook of Physical Constants, AGU Reference Shelf 1.* N.Y.: Amer. Geophys. Soc., 1995. P. 283–291.
11. *Yukutake T.* // *Phys. Earth and Planet. Inter.* 2000. V. 121. P. 103–137.